

Starkniederschlagshöhen und -spenden gemäß KOSTRA-DWD-2010R

Auswertungszeitraum von 1951 - 2010, Januar - Dezember

Rasterfeld: 68032

Zeile: 68

Spalte: 32

Seite: 1/2

| Dauerstufe D | Wiederkehrzeit T | | | | | | | | | | | | | | | | | | |
|--------------|------------------|------|------------|------|------------|------|------------|------|------------|------|------------|------|------------|------|------------|-------|------------|-------|------------|
| | 1 a | | 2 a | | 3 a | | 5 a | | 10 a | | 20 a | | 30 a | | 50 a | | 100 a | | |
| min | Std | mm | l / (s ha) | mm | l / (s ha) | mm | l / (s ha) | mm | l / (s ha) | mm | l / (s ha) | mm | l / (s ha) | mm | l / (s ha) | mm | l / (s ha) | mm | l / (s ha) |
| 5 | | 4,6 | 153,3 | 6,5 | 216,7 | 7,5 | 250,0 | 8,9 | 296,7 | 10,8 | 360,0 | 12,6 | 420,0 | 13,7 | 456,7 | 15,1 | 503,3 | 16,9 | 563,3 |
| 10 | | 7,4 | 123,3 | 9,9 | 165,0 | 11,4 | 190,0 | 13,3 | 221,7 | 15,8 | 263,3 | 18,3 | 305,0 | 19,8 | 330,0 | 21,6 | 360,0 | 24,1 | 401,7 |
| 15 | | 9,3 | 103,3 | 12,3 | 136,7 | 14,1 | 156,7 | 16,3 | 181,1 | 19,3 | 214,4 | 22,3 | 247,8 | 24,1 | 267,8 | 26,3 | 292,2 | 29,3 | 325,6 |
| 20 | | 10,7 | 89,2 | 14,1 | 117,5 | 16,1 | 134,2 | 18,6 | 155,0 | 22,0 | 183,3 | 25,4 | 211,7 | 27,4 | 228,3 | 29,9 | 249,2 | 33,4 | 278,3 |
| 30 | | 12,5 | 69,4 | 16,6 | 92,2 | 19,0 | 105,6 | 22,0 | 122,2 | 26,1 | 145,0 | 30,1 | 167,2 | 32,5 | 180,6 | 35,5 | 197,2 | 39,6 | 220,0 |
| 45 | | 14,1 | 52,2 | 19,0 | 70,4 | 21,9 | 81,1 | 25,5 | 94,4 | 30,3 | 112,2 | 35,2 | 130,4 | 38,1 | 141,1 | 41,7 | 154,4 | 46,5 | 172,2 |
| 60 | | 15,1 | 41,9 | 20,6 | 57,2 | 23,9 | 66,4 | 28,0 | 77,8 | 33,5 | 93,1 | 39,0 | 108,3 | 42,3 | 117,5 | 46,4 | 128,9 | 51,9 | 144,2 |
| 90 | | 16,7 | 30,9 | 22,4 | 41,5 | 25,7 | 47,6 | 29,8 | 55,2 | 35,5 | 65,7 | 41,2 | 76,3 | 44,5 | 82,4 | 48,6 | 90,0 | 54,3 | 100,6 |
| 120 | 2 | 17,9 | 24,9 | 23,7 | 32,9 | 27,0 | 37,5 | 31,3 | 43,5 | 37,0 | 51,4 | 42,8 | 59,4 | 46,1 | 64,0 | 50,4 | 70,0 | 56,1 | 77,9 |
| 180 | 3 | 19,8 | 18,3 | 25,7 | 23,8 | 29,1 | 26,9 | 33,5 | 31,0 | 39,3 | 36,4 | 45,2 | 41,9 | 48,6 | 45,0 | 53,0 | 49,1 | 58,8 | 54,4 |
| 240 | 4 | 21,3 | 14,8 | 27,3 | 19,0 | 30,7 | 21,3 | 35,1 | 24,4 | 41,1 | 28,5 | 47,1 | 32,7 | 50,6 | 35,1 | 55,0 | 38,2 | 60,9 | 42,3 |
| 360 | 6 | 23,5 | 10,9 | 29,6 | 13,7 | 33,2 | 15,4 | 37,7 | 17,5 | 43,8 | 20,3 | 49,9 | 23,1 | 53,4 | 24,7 | 57,9 | 26,8 | 64,0 | 29,6 |
| 540 | 9 | 26,0 | 8,0 | 32,3 | 10,0 | 35,9 | 11,1 | 40,5 | 12,5 | 46,7 | 14,4 | 53,0 | 16,4 | 56,6 | 17,5 | 61,2 | 18,9 | 67,4 | 20,8 |
| 720 | 12 | 28,0 | 6,5 | 34,3 | 7,9 | 38,0 | 8,8 | 42,6 | 9,9 | 49,0 | 11,3 | 55,3 | 12,8 | 59,0 | 13,7 | 63,7 | 14,7 | 70,0 | 16,2 |
| 1080 | 18 | 30,9 | 4,8 | 37,4 | 5,8 | 41,2 | 6,4 | 45,9 | 7,1 | 52,4 | 8,1 | 58,8 | 9,1 | 62,6 | 9,7 | 67,4 | 10,4 | 73,9 | 11,4 |
| 1440 | 24 | 33,2 | 3,8 | 39,8 | 4,6 | 43,6 | 5,0 | 48,4 | 5,6 | 55,0 | 6,4 | 61,6 | 7,1 | 65,4 | 7,6 | 70,2 | 8,1 | 76,8 | 8,9 |
| 2880 | 48 | 44,8 | 2,6 | 53,0 | 3,1 | 57,8 | 3,3 | 63,9 | 3,7 | 72,2 | 4,2 | 80,4 | 4,7 | 85,3 | 4,9 | 91,3 | 5,3 | 99,6 | 5,8 |
| 4320 | 72 | 53,3 | 2,1 | 62,5 | 2,4 | 67,9 | 2,6 | 74,8 | 2,9 | 84,0 | 3,2 | 93,2 | 3,6 | 98,6 | 3,8 | 105,5 | 4,1 | 114,7 | 4,4 |

Angaben in mm: Bemessungsniederschlagswerte h(n)

Angaben in l / (s ha): Regenspende R(n) mit $R(n) = h(n) \times 1,666667 / D[\text{min}]$

Toleranzbereiche:

+/- 10 % für $1 \text{ a} \leq T \leq 5 \text{ a}$

+/- 15 % für $5 \text{ a} < T \leq 50 \text{ a}$

+/- 20 % für $50 \text{ a} < T \leq 100 \text{ a}$

Datenbasis: KOSTRA-DWD-2010R des Deutschen Wetterdienstes. Die Regenspende wurde auf Basis des Bemessungsniederschlags zur jeweiligen Andauer berechnet.

Für die Richtigkeit und Aktualität der Angaben wird keine Gewähr übernommen. Erstellt 07/2022.

Starkniederschlagshöhen und -spenden gemäß KOSTRA-DWD-2010R

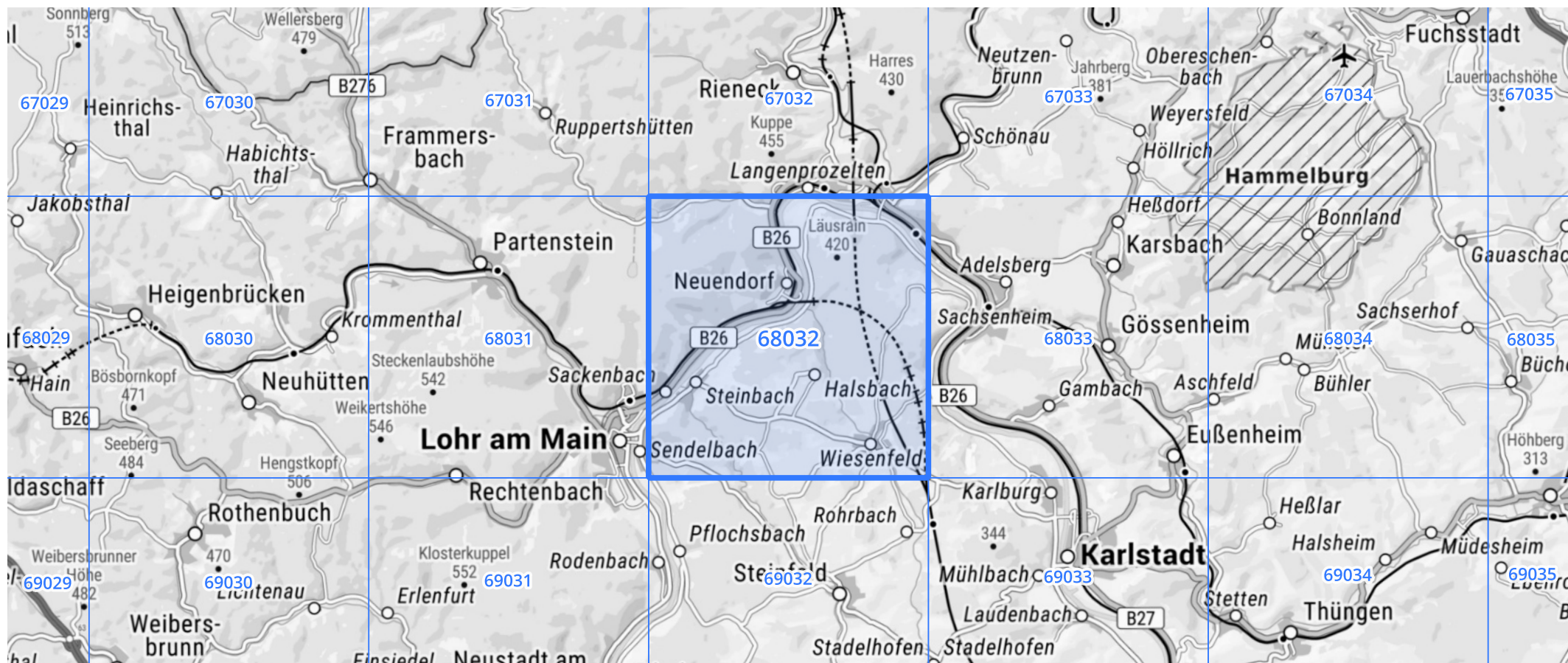
Auswertungszeitraum von 1951 - 2010, Januar - Dezember

Rasterfeld: 68032

Zeile: 68

Spalte: 32

Seite: 2/2



Quelle Rasterdaten: KOSTRA-DWD-2010R des Deutschen Wetterdienstes.

Kartendarstellung: © Bundesamt für Kartographie und Geodäsie (2022), Datenquellen: https://sgx.geodatenzentrum.de/web_public/gdz/datenquellen/Datenquellen_TopPlusOpen.html

Für die Richtigkeit und Aktualität der Angaben wird keine Gewähr übernommen. Erstellt 07/2022.